## ՀԱՅԱՍՏՄՆԻ ԳԻՏՈՒԹՅՈՒՆՆԵՐԻ ԱԶԳԱՅԻՆ ԱԿԱԴԵՄԻԱՅԻ ԴՐԺԵՍԻՐԻ

### ИЗВЕСТИЯ НАЦИОНАЛЬНОЙ АКАДЕМИИ НАУК АРМЕНИИ

Մեխանիկա

48, N° 2, 1995

Механика

# ОСЕСИММЕТРИЧНЫЕ КОЛЕБАНИЯ НЕЛИНЕЙНО-УПРУГОЙ ЦИЛИНДРИЧЕСКОЙ ОБОЛОЧКИ В ПРОДОЛЬНОМ МАГНИТНОМ ПОЛЕ

Амбарцумян С.А., Белубехян М.В., Минасян М.М.

Տամրարձումյան Ս. Ա., Ռելուդեկյան Մ. Վ., Միկասյան Մ. Մ.

Ոչ գծային առաձգական թաղանթի առանցքա-սիմեզրիկ տատանումները երկայնական մացեիսական դաշտում

Դիրապելվում է շրջանային գլանային էլեկորածաղորդիլ թաղանթի մազնիսատաանգական հարտաները։ Ուսումնատիշության հիմշում դրված են բարակ մարձի ձերի մազնիստասանգականը թյան հարձկածը եւ լարումների ու դեֆորժացիաների ինպես իսկաթյանների միջնության իր հիմեր եւ ինչհերժան ասիմայարդումի կուրական մերողենշը բար ժամանակի։ Ծուրց է պրված, որ մազնիսական դաշարի ուժեղացումը յունի հարարարան ազրեցության բեույր դրարանումների հաճախության վրա։ Ռազանայարել է, որ ուժեղ արա նիսական դաշարհում առաջանում են բարձի հաճախության վրա։ Ռազանայարել է, որ ուժեղ ավագարանության ազրեցում չար մազնիսական բնույթ

#### S.A. Ambartsumian, M.V. Belubeklan, M.M. Minassian

The anally-symmetrical inbrations of non-linear elastic shells in longitudinal magnetic field

Приненеется негод Бубнова-Галеранна по пространственным координатам долитогические негоды интерриродания по времени. Иссладовано линей-пре пребликания для определения наражегров (интерсивность малинтирог поля и параметр знегорографисты), при вогорыя эффект имлинаймость будат элемтельным. Показамо, что интрерыеног увеличение ентерсирость нагинтине поля имеет извеченошейся зарамер вышения на частоту колебаний. Выявлено, что для оминики поля возницают часто малинтиры, не завистиры от упругих свойств материала, высокочнастотные колебания.

Получены пороговые значения лараметров, установлены оденои для учеть нелиней-пости и выпедены уросценные урак-вения для колебательных мод. Определены вметлитур-по-частотные характеристики нелиний-ных соборуны в опебаний.

1. Исходные предположения и уравнения. Рассматривается нелинейноупругая электропроводящая (с конечной электропроводностью  $\mathfrak G$ ) круговая цилиндрическая оболочка (с радмусом кривизны R и толщины h) в продольном магнитном поле напряженности  $B_{a}$ .

Предполагается, что средняя поверхность оболочки отмесена к ортогональной системе координат  $\alpha$ ,  $\beta$ , соепадающими с линиями кривизны поверхности, т.е. с прямолинейными образующими  $\beta$  = const и с направляющими дугами  $\alpha$  = const. Прямолинейная координата  $\gamma$  направлена по нормали к срединной поверхности. В осесимметричной задаче все функции зависят, лишь от координаты  ${\mathfrak C}$  и времени  ${\mathfrak t}$  .

В основе исследования лежат следующие предположения и упрощения:

 а) принимается гипотеза магнитоупругости тонких тел [1], согласно которой для отличной от нуля тангенциальной компоненты возбужденного в оболочке электрического поля и нормальной компоненты магнитного поля имеет место соответственно

$$e_2 = \Psi(\alpha, t), \quad h_3 = f(\alpha, t)$$
 (1)

6) если  $\lambda$  - длина полуволны изгибных упругих колебаний, то отношение  $\lambda/R$  считается малым в той степени, что становится приемлемым способ приведения общей трехмерной задачи путем магнитоупругости тонких тел к двумерной задаче введения пограничного слоя [1,2]. В силу такого предположения для внешней задачи получается следующая система уравнений:

$$\begin{aligned}
& \phi(h_i^+ - h_i^-) = \frac{2}{\lambda} \left( \frac{\partial f}{\partial \alpha} + \frac{1}{c} \frac{\partial \psi}{\partial \tau} \right) \\
& \phi(h_i^+ + h_i^-) = 0, \quad \left( \phi = \frac{\partial^2}{\partial \alpha^2} - \frac{1}{c^2} \frac{\partial^2}{\partial t^2} \right)
\end{aligned} \tag{2}$$

где  $h_{\perp}^{+}$  - значения тангенциальных компонент возбужденного магнитного поля на внешних поверхностях оболочки, C - электродинамическая постоянная  $(c=3\cdot 10^{10}~{\rm c}~{\rm m/c}~{\rm ck})$ :

 в) принимается гипотеза недеформируемых нормалей [3], в силу чего для компонент тензора деформаций имеем:

$$e_{\alpha} = \varepsilon_1 + \gamma \chi_1, \qquad e_{\beta} = \varepsilon_2,$$
  
 $e_{\alpha\beta} = 0, \qquad e_{\alpha\gamma} = 0, \qquad e_{\beta\gamma} = 0$ 
(3)

где, при отсутствии осевой силы ( $T_{\alpha}=0$ ) [4,5]

$$\varepsilon_1 = -\frac{w}{2R}, \quad \varepsilon_2 = \frac{w}{R}, \quad \chi_1 = -\frac{\partial^2 w}{\partial \alpha^2}$$
 (4)

а W - нормальное перемещение оболочки;

г) материал оболочки считается несжимаемым, т.е.

$$e_{\gamma} = -e_{\alpha} - e_{\beta} \tag{5}$$

д) направляющие тензоров напряжений и деформаций совпадают.

Это допущение с учетом (3) и (5) позволяет получить следующие приближенные представления для напряжений [4]:

$$\begin{split} &\sigma_{\alpha} = \frac{4}{3} \frac{T_i}{E_i} \left( e_{\alpha} + \frac{1}{2} e_{\beta} \right) & \tau_{\alpha\beta} = 0, \quad \tau_{\alpha\gamma} = 0 \\ &\sigma_{\beta} = \frac{4}{3} \frac{T_i}{E_i} \left( e_{\beta} + \frac{1}{2} e_{\alpha} \right) & \tau_{\beta\gamma} = 0, \quad \sigma_{\gamma} = 0 \end{split} \tag{6}$$

e) между интенсивностью напряжений  $T_i$  и интенсивностью деформаций  $E_i$  существует нелинейная связь в виде [5-7]

$$T_i = \alpha E_i + b E_i^m \tag{7}$$

где  $m,\ a$  и b - постоянные, характеризующие материал оболочки, которые определяются из опыта при испытании материала на простое растяжение.

В рассматриваемом случае для интенсивности деформаций имеем [4,5]

$$E_i = \frac{2}{\sqrt{3}} \sqrt{e_\alpha^2 + e_\alpha e_\beta + e_\beta^2}$$
 (8)

Согласно (3)-(8) для отличных от нуля напряжений получаем [5-7]

$$\sigma_{\alpha} = \frac{4}{3} \gamma \chi_{1} \left[ a + b \left( \varepsilon_{2}^{2} + \frac{4}{3} \gamma^{2} \chi_{1}^{2} \right)^{\frac{m-1}{2}} \right]$$

$$\sigma_{\beta} = \left( \varepsilon_{2} + \frac{2}{3} \gamma \chi_{1} \right) \left[ a + b \left( \varepsilon_{2}^{2} + \frac{4}{3} \gamma^{2} \chi_{1}^{2} \right)^{\frac{m-1}{2}} \right]$$
(9)

Уравнения движения оболочки представим в виде [3,4,5]

$$-\frac{T_{\beta}}{R} + \frac{\partial N_{\alpha}}{\partial \alpha} = \int_{-h/2}^{h/2} \rho \left(1 + \frac{\gamma}{R}\right) \frac{\partial^{2} w}{\partial t^{2}} d\gamma - \int_{-h/2}^{h/2} \rho \left(1 + \frac{\gamma}{R}\right) K_{3} d\gamma$$

$$\frac{\partial M_{\alpha}}{\partial \alpha} - N_{1} = \int_{-h/2}^{h/2} \rho \gamma \left(1 + \frac{\gamma}{R}\right) \frac{\partial^{2} u_{\alpha}}{\partial t^{2}} d\gamma$$
(10)

где для внутреннето усилия  $T_{\!eta}$  и изгибающего момента  $M_{\!lpha}$  имеем обычные представления:

$$T_{\beta} = \int_{-h/2}^{h/2} \sigma_{\beta} \, d\gamma, \qquad M_{\alpha} = \int_{-h/2}^{h/2} \gamma \sigma_{\alpha} \, d\gamma \tag{11}$$

В (10)  $\rho K_3$  - компонента объемной силы электромагнитного происхождения, отнесенная к единице объема тела,  $\rho$ - плотность материала оболочки,  $N_{\alpha}$ - поперечное усилие,  $u_{\alpha}$ - компонента тангенциального перемещения оболочки. Производными по времени от  $u_{\alpha}$  пренебрегаем.

Объемная сила электромагнитного происхождения, вызванная движением оболочки в магнитном поле определяется формулой [1,2]

$$\rho K_3 = -\frac{\sigma B_0}{c} e_2 - \frac{\sigma B_0^2}{c^2} \frac{\partial w}{\partial t} = -\frac{B_0}{c} \sigma \left( \psi + \frac{B_0}{c} \frac{\partial w}{\partial t} \right)$$
(12)

Уравнение внутренней задачи магнитоупругости имеет вид [1,2]

$$\frac{\partial f}{\partial \alpha} = \frac{h_1^* - h_1^*}{h} - \frac{4\pi\sigma}{c} \left( \psi + \frac{B_0}{c} \frac{\partial \psi}{\partial t} \right)$$

$$\frac{\partial \psi}{\partial \alpha} + \frac{1}{c} \frac{\partial f}{\partial t} = 0$$
(13)

Из совместного рассмотрения уравнений движения оболочки (10) систем уравнений для внешней (2) и внутренней (13) задач, после серий преобразований с учетом вышеприведенных формул и соотношений приходим к следующей системе исходных уравнений:

$$\frac{\partial^{2} M_{\alpha}}{\partial \alpha^{2}} - \frac{T_{\beta}}{R} = \rho h \frac{\partial^{2} w}{\partial t^{2}} + \frac{B_{0}^{2} \sigma h}{c^{2}} \frac{\partial w}{\partial t} + \frac{B_{0} \sigma h}{c} \Psi$$

$$\frac{\partial^{2} \Psi}{\partial \alpha^{2}} - \frac{4\pi \sigma}{c^{2}} \frac{\partial \Psi}{\partial t} - \frac{2}{\lambda h} \Psi = \frac{4\pi \sigma B_{0}}{c^{3}} \frac{\partial^{2} w}{\partial t^{2}}$$
(14)

Исключая из системы (14) функцию  $\psi$  и введя безразмерные переменные

$$x = \frac{\alpha}{l}, \quad \xi = \frac{a_0 t}{h}, \quad W = \frac{w}{h}$$
 (15)

получим уравнение для  $W(x,\xi)$ 

$$\left(\frac{\partial}{\partial \xi} + \mu_0 L_1\right) \left(\frac{\partial^2}{\partial \xi^2} L_2[W] + L_1[W] + L_4[W]\right) + \nu_0^2 \frac{\partial}{\partial \xi} L_1[W] = 0$$
 (16)

где линейные операторы  $L_{1}$ ,  $L_{2}$  и  $L_{3}$  имеют виды

$$\bar{L}_1 = \frac{2h}{\lambda} - \left(\frac{h}{l}\right)^3 \frac{\partial^2}{\partial x^2}, L_2 = 1 - \frac{1}{12} \left(\frac{h}{l}\right)^2 \frac{\partial^2}{\partial x^2}, L_3 = \left(\frac{h}{R}\right)^3 + \frac{1}{9} \left(\frac{h}{l}\right)^4 \frac{\partial^4}{\partial x^4} (17)$$

а  $L_{\!\scriptscriptstyle 4}$  - нелинейный оператор

$$L_4[W] = \frac{1}{2} \frac{b}{a} \int_{-\infty}^{\infty} \left[ \frac{z^2}{3} \left( \frac{h}{l} \right)^4 \frac{\partial^2}{\partial x^2} + \left( \frac{h}{R} \right)^2 \right] \left[ W^2 \left( \frac{h}{R} \right)^2 + \frac{1}{3} \left( \frac{h}{l} \right)^4 z^2 \left( \frac{\partial^2 W}{\partial x^2} \right)^2 \right]^{\frac{m-1}{2}} dz$$

Безразмерные параметры  $\mu_0$  и  $V_0$  определены в виде

$$\mu_0 = \frac{c^2}{4\pi\sigma a_0 h}, \quad v_0^2 = \frac{b_0^2}{a_0^2}$$
 (18)

где  $a_0=\sqrt{a/\rho}$  - характерная упругая скорость "звука", а  $b_0=\frac{B_0}{\sqrt{4\pi\rho}}$  - скорость Альфвена.

2. Свободные колебания оболочки. Рассмотрим свободные колебания оболочки при шарнирном опирании ее краев:

$$W(0,\xi) = W_1(1,\xi) = 0$$

$$\frac{\partial^2 W}{\partial x^2}\Big|_{x=0} = \frac{\partial^2 W}{\partial x^2}\Big|_{x=1} = 0$$
(19)

Для функции У принимаем следующие граничные условия:

$$\psi(0,\xi) = \psi(1,\xi) = 0 \tag{20}$$

Вследствие получим еще два дополнительных условия для

$$\frac{\partial^4 W}{\partial x^4}\Big|_{x=0} = \frac{\partial^4 W}{\partial x^4}\Big|_{x=1} = 0 \tag{21}$$

Представляя решение задачи (16), (19), и (21) в виде

$$W(x,\xi) = F(\xi) \sin \pi nx \tag{22}$$

и применяя обычную процедуру метода Галеркина для функции  $F(\xi)$ , получим уравнение

$$\left(\frac{d}{d\tau} + \mu\right)\left(\frac{d^2F}{d\tau^2} + F + k|F|^{m-1}F\right) + \gamma^2 \frac{dF}{d\tau} = 0$$
(23)

где

$$\mu = \mu_0 \alpha_1 \sqrt{\frac{\alpha_2}{\alpha_3}}, \quad \gamma^2 = \gamma_0^2 \frac{\alpha_1}{\alpha_3}, \quad \tau = \omega_0 t = \frac{\omega_0 h}{a_0} \xi, \quad \omega_0^2 = \frac{a_0^2}{h^2} \frac{\alpha_1}{\alpha_2}$$

$$\alpha_1 = \frac{2h}{\lambda} + \left(\frac{\pi nh}{l}\right)^2, \quad \alpha_2 = 1 + \frac{1}{12} \left(\frac{\pi nh}{2l}\right)^2, \quad \alpha_3 = \left(\frac{h}{R}\right)^2 + \frac{1}{9} \left(\frac{\pi nh}{l}\right)^4$$

$$k = \frac{9}{\pi} \left(\frac{h}{a}\right)^2 \frac{2^{m+1} \Gamma^2 \left(\frac{m}{2} + 1\right)}{\alpha_2 \Gamma(m+2)} \int_{-1}^{\infty} \left[\left(\frac{h}{R}\right)^2 + \frac{1}{3} \left(\frac{\pi nh}{l}\right)^4 z^2\right]^{\frac{m+1}{2}} dz$$

Заметим, что  $\,\omega_{0}\,$  является частотой свободных колебаний оболочки без магнитного поля и для линейного материала.

Очевидно, что эффект влияния нелинейности существенно зависит от степени затухания колебаний. При слабом затухании нелинейность сказывается намного ярче, чем при сильном затухании.

Для выяснения этого вопроса сначала исследуем линейное приближение. Приняв в уравнении (23) k=0, имеем

$$\left(\frac{d}{d\tau} + \mu \left(\frac{d^2 F}{d\tau^2} + F\right) + v^2 \frac{dF}{d\tau} = 0\right)$$
 (24)

Для идеального проводника  $\mu = 0$ . Тогда из (24) получим незатухающие колебания с частотой  $\omega$ 

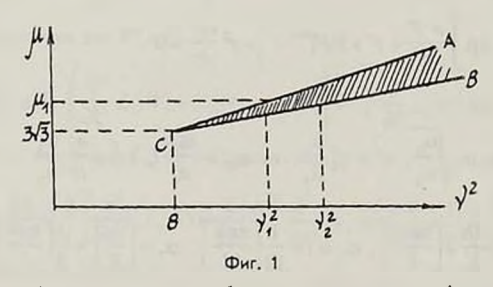
$$\omega = \sqrt{\omega_0^2 + \omega_m^2}, \quad \omega_m^2 = \frac{b_0^2}{h^2} \frac{\alpha_1}{\alpha_2}$$
 (25)

Для непроводящего материала  $(\mu \to \infty)$  имеются незатухающие колебания с частотой  $\omega_0$ . Исключая эти два крайних случая и представляя решение (25) в виде  $F \sim \exp(s\tau)$ , получим характеристическое уравнение

$$(s+\mu)(s^2+1)+v^2s=0$$
 (26)

Корни уравнения зависят от знака  $\Delta(\mu, v^2)$  , где

$$\Delta(\mu, v^2) = \mu^4 + \frac{\mu^2}{4} (8 - 20v^2 - v^4) + (1 + v^2)^3$$
 (27)



На фиг. 1 показаны области знакопостоянства Δ.

На линиях CA и CB  $\Delta=0$  и уравнение (26) имеет три вещественные корни  $\left(s_1<0,\ s_2=s_1<0\right)$  .

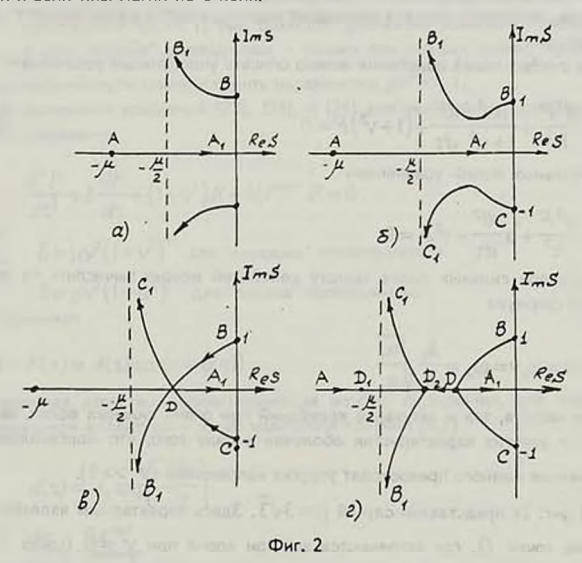
B TOURE 
$$C(8, 3\sqrt{3})$$
  $s_1 = s_2 = s_3 = -\sqrt{3}$ 

Уравнения линий CA и CB с большой точностью можно представить следующим образом:

CA: 
$$\mu = 0.5v^2 + 1.2$$
  
CB:  $\mu = \sqrt{4v^2 - 5}$ 

В заштрихованной области ( $\Delta < 0$ ) все корни вещественны, отрицательны и разные. Вне этой области ( $\Delta > 0$ ) один корень вещественный отрицательный, а два других- комплексно сопряженные с отрицательными действительными частями.

Таким образом, существование колебаний зависит от степени проводимости и величины магнитного поля.



На фиг. 2 представлены движения корней в комплексной плоскости S по мере возрастания  $\mathbf{V}^2$  ( магнитного поля) от 0 до  $\infty$ . Точками B, C и A соответствует значение  $\mathbf{V}^2=0$  (отсутствие магнитного поля), а точкам  $B_1$ ,  $C_1$  и  $A_1$  -  $\mathbf{V}^2 \to \infty$  (большие магнитные поля). Ветви  $BB_1$  и  $CC_1$  представляют колебательные движения, а отрезки  $AA_1$  - безколебательные экспоненциальные затухания.

Как видно из фиг. 2, магнитное поле по-разному влияет на характеристики колебаний и это существенно зависит от степени проводимости  $\mu$ .

Фиг. 1а представляет случай малых значений Д ("хороший проводник").

Здесь возрастание V увеличивает частоту колебаний и одновременно усиливает затухание. При  $V' \to Res \to \mu/2$ . При  $\mu << 1$  для всего диапазона изменения V вместо уравнения (24) для колебательных мод можно пользоваться более простым уравнением

$$\frac{d^2F}{dt^2} + \frac{\mu v^2}{1 + v^2} \frac{dF}{dt} + (1 + v^2)F = 0$$
 (28)

Фиг. 26 представляет случай конечных  $\mu < 3\sqrt{3}$ . Как видно, здесь магнитное поле, возрастая, вначале уменьшает частоту, а затем резко начинает увеличивать ее.

Для слабых полей колебания можно описать упрощенным уравнением

$$\frac{d^{2}F}{d\tau} + \frac{\mu v}{1 + \mu^{2}} \frac{dF}{d\tau} + (1 + v^{2})F = 0$$
(29)

а для сильных полей- уравнением

$$\frac{d^2F}{d\tau^2} + \mu \frac{dF}{d\tau} + v^2F = 0$$
(30)

Тогда при сильных полях частоту колебаний можно вычислить по упрощенной формуле

$$\omega = \omega_0 v = \omega_m = \frac{b_m}{h} \sqrt{\frac{\alpha_m}{\alpha_m}}$$
(31)

Как частота, так и затухание колебаний при очень сильных полях, не зависят от упругих харахтеристик оболочки в силу того, что максвелловские изпряжения намного превосходят упругих напряжений ( $\sqrt{r} >> 1$ ).

На фиг. 2в представлен случай  $\mu=3\sqrt{3}$ . Здесь характерным является появление точки D, где встречаются все три хорня при V=8 (точка C на фиг. 1). В окрестности этой точки имеются инакочастотные колебания с сильным затухахием. Для слабых полей можно также пользоваться уравнением (29), а для сильных полей - уравнением (30).

Фиг. 1д представляет случай больших значений  $\mu$  ("плохой" проводник). При некотором значении  $V'=V_1^2$ , определяемого из уравнения CA (фиг. 1) колебания в системе исчезают, одмако при значении  $V'=V_2^2$ , определяемого из уравнения CB при том же значении  $\mu=\mu_1$ , колебания смова возникают.

Таким образом, выяснено, что увеличение интенсивности магнитного поля в рамках принятой здесь модели взаимодействия упругого и электромагнитного полей, постоянно усиливая затухание, по-разному влияет на частоту колебаний. Критическое значение магнитного поля, появышение которого приводит к подавлению колебаний, определяется из условия  $v^2 = 8$ , откуда

$$B_0^2 = 32\pi a \sqrt{\left[ \left( \frac{h}{R} \right)^2 + \frac{1}{9} \left( \frac{\pi h}{l} \right)^4 \right] \left[ \frac{2h}{\lambda} + \left( \frac{\pi h}{l} \right)^2 \right]^{-1}}$$
 (32)

Для реальных упругих материалов такая оценка точки неосуществима и поэтому ограничимся случаем только колебаний при  $v^2 < 8$ .

Из вышеизложенного анализа линейного приближения следует, что эффект нелинейности материала оболочки может быть ощутимым для "хороших" проводников ( $\mu << 1$ ) при большом диапазоне изменения магнитного поля, а для "плохих" проводников - только при слабых полях. Критерием учета нелинейности может служить неравенство  $\mu v^2 << 1$ .

На основании уравнений (23), (28), и (29) для нелинейных колебаний получим уравнения

$$\frac{d^{2}F}{d\tau^{2}} + \delta \frac{dF}{d\tau} + (1 + v^{2})F + k|F|^{m-1}F = 0$$
(33)

где

 $\delta = \mu v^2 (1 + v^2)^{-1}$  для "хороших" проводников и

 $\delta = \mu v (1 + \mu^2)^{-1}$  для "плохих" проводников.

Принимая

$$F(\tau) = A(\tau)\cos(\tau + \varphi(\tau)) \tag{34}$$

и применяя известные асимптотические методы осреднения, для медленно меняющихся амплитуды и фазы колебаний получим [6,7]

$$A(\tau) = A_0 \exp\left(-\frac{\delta \tau}{2}\right)$$

$$\frac{d\phi}{d\tau} = \frac{\beta A^{\infty - 1}}{\sqrt{1 + V^2}}$$
(35)

где

$$\beta = \frac{k}{\pi} \frac{2^{m+1} \Gamma^2 \left(1 + \frac{m}{2}\right)}{\Gamma(m+2)}$$

Для частоты колебаний получим

$$\omega^{2} = \left(\omega_{0}^{2} + \omega_{m}^{2}\right) \left(1 + \frac{2\beta A^{m-1}}{\sqrt{\omega_{0}^{2} + \omega_{m}^{2}}}\right)$$
(36)

Мы рассмотрели наиболее простой случай граничных условий. При иных условиях, хотя и выкладки станут более трудоемкими, однако принципиальные оценки и качественные результаты останутся теми же.

Авторы благодарны за полезные замечания рецензента, который, в частности, обратил наше внимание на работу [8], где рассматривается вопрос распространения изгибных волн в идеально проводящей нелинейно-упругой (по модели Каудерера) пластинке.

Настоящее исследование выполнено по гранту INTAS-94-1210.

#### ЛИТЕРАТУРА

- 1. Амбарцумян С.А., Богдасарян Г.Е., Белубекян М.В. Магнитоупругость тонких оболочек и пластин.-М.: Наука, 1977. 272 с.
- 2. Амбарцумян С.А., Белубекян М.В. Колебания и устойчивость тонкостенных упругих пластин.- Ереван, Изд. Академия, 1992. 121 с.
- Амбарцумян С.А. Общая теория анизотропных оболочек.-М.: Наука, 1974.
   1-446 с.
- 4. Ильюшин А.А. Пластичность.-М.-Л.: Гостехиздат, 1948. 376 с.
- Амбарцумян С.А. Об осесимметричной задаче трехслойной цилиндрической оболочки, составленной из нелинейно-упругих материалов.- Изв. АН Арм. ССР, сер. физ-мат. н., 1961, т.14, в.1.
- Ambartsumian S.A., Belubekian M.V. and Minassian M.M. On the Problem of Vibrations of Non- Linear Elastic Elektroconductive Plates in Transverse and Longitudinal Magnetic Fields.-Int. J. Non-Linear Mechanics, 1983, vol.19, No 2.
- Ambartsumian S.A., Belubekian M.V. and Minassian M.M. The Problem of Vibration of Current-Carrying Plates.- Int. J. Applied Elektromagnetics in Materials, 1992, No 3.
- Богдоев А.Г., Мовсисян Л.А. Нелинейные колебания пластин в продольном магнитном поле.-Изв.АН Арм ССР, Механика, 1982, т.35, № 1, с.16-22

Институт механики АН Армении

Поступила в редакцию 25, 10, 1993